

r_s	$\text{\AA}^a)$		θ_s	$\text{deg}^a)$	
	<i>cis</i>	<i>skew</i>		<i>cis</i>	<i>skew</i>
C=C	1.353(15)	1.341(15)	H(1)–C(1)–H(2)	119.1 ^{b)}	119.1 ^{b)}
C(1)–H	1.097 ^{b)}	1.097 ^{b)}	H(1)–C=C	120.6 ^{b)}	120.6 ^{b)}
C(2)–Si	1.850(15)	1.847(15)	C=C–Si	124.5(15)	124.5(15)
C(2)–H	1.094 ^{b)}	1.094 ^{b)}	C(1)=C(2)–H	118.3 ^{b)}	118.3 ^{b)}
Si–C(3)	1.865(15)	1.871(15)	C–Si–C	111.5(15)	111.0(15)
Si–H	1.483 ^{b)}	1.483 ^{b)}	H(4)–Si–H(5)	107.3 (10)	110.4(10)
C(3)–H(6)	1.095(10)	1.100(10)	C(2)–Si–H	109.1 ^{b)}	108.8 ^{b)}
C(3)–H(7)	1.095(10)	1.072(10)	C(3)–Si–H	109.1 ^{b)}	108.8 ^{b)}
C(3)–H(8)	1.074(10)	1.081(10)	H(6)–C–H(7)	107.1(10)	107.7(10)
			H(7)–C–H(8)	108.4(10)	108.7(10)
			H(6)–C–H(8)	108.4(10)	105.7(10)
			Si–C(3)–H	111.0(20)	111.6(20)
			$\tau^c)$	0	119(3)

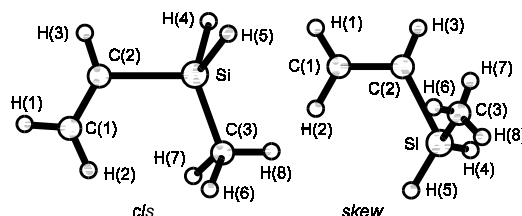
Isotopic species ^{d)}	Atom	a_s [\AA]	b_s [\AA]	c_s [\AA]
<i>cis</i>				
$H_2C=CH-SiH_2-^{13}CH_3$	C(3)	1.464	–1.050	0.0
$H_2C=CH-SiHD-CH_3$	H(4,5)	1.079	1.397	± 1.194
$H_2C=CH-SiD_2-CH_3$	H(4,5)	1.079	1.397	± 1.195
$H_2C=CH-SiH_2-CH_2D(6)$	H(6,7)	1.165	–1.630	± 0.881
$H_2C=CH-SiH_2-CH_2D(8)$	H(8)	2.354	–0.962	0.0
<i>skew</i>				
$H_2C=CH-SiH_2-^{13}CH_3$	C(3)	1.905	–0.696	–0.135
$H_2C=CH-SiHD-CH_3$	H(4)	0.870	1.525	1.096
$H_2C=CH-SiHD-CH_3$	H(5)	0.242	1.292	–1.246
$H_2C=CH-SiH_2-CH_2D(6)$	H(6)	1.684	–1.409	–0.942
$H_2C=CH-SiH_2-CH_2D(7)$	H(7)	2.049	–1.258	0.766
$H_2C=CH-SiH_2-CH_2D(8)$	H(8)	2.843	–0.230	–0.405

^{a)} Uncertainties were not estimated in the original paper.

^{b)} Assumed.

^{c)} Dihedral angle C=C–Si–C.

^{d)} Employed to calculate atomic coordinates.



Imachi, M., Nagayama, A., Nakagawa, J., Hayashi, M.: J. Mol. Struct. **77** (1981) 81.